



Islas Canarias  
Del 15 al 19 de noviembre de 2021



Escuela Andaluza  
de Salud Pública  
Consejería de Salud y Familias



UNIVERSIDAD  
DE GRANADA



# XXI Jornadas de Estadística de las Comunidades Autónomas

## Uso de machine learning para ajustar pesos en encuestas panel. Aplicación a la Encuesta Sanitaria y Social.

Luis Castro Martín  
María del Mar Rueda García  
Andrés Cabrera León  
Carmen Sánchez-Cantalejo Garrido  
Ramón Ferri García  
Jorge Hidalgo Calderón  
Iria Enrique Regueira

<https://orcid.org/0000-0002-0934-4219>



# Introducción

- La rápida expansión de la COVID-19 ha hecho necesaria una evaluación rápida y eficiente de la situación.
- La Encuesta Sanitaria y SOcial (ESSOC) (Sánchez-Cantalejo et al., 2021) es un proyecto de investigación que proporciona información a lo largo del tiempo sobre el impacto del COVID-19 que pueda ser de utilidad para tomar medidas.
- La ESSOC tiene un diseño de encuesta panel por superposición para garantizar estimaciones tanto transversales como longitudinales.

# Introducción

- Las encuestas panel son ampliamente usadas para observar la evolución de ciertas características a lo largo del tiempo.
- Sin embargo, implican problemas de no-respuesta (Arcos et al., 2020) causados por la fatiga de la población al ser encuestada reiteradamente.
- Presentamos un nuevo método de reponderación que produce estimadores válidos a partir de muestras afectadas por falta de respuesta, usando información auxiliar disponible a distintos niveles.

# Contexto

- $U$  una población finita de tamaño  $N$ ,  $U = \{1, \dots, i, \dots, N\}$ .
- y la variable de interés.
- $s_{(1)}$  una muestra de tamaño  $n_{(1)}$  extraída en la 1ª medición ( $t = 1$ ) mediante muestreo aleatorio estratificado.
- $h$  el estrato al que pertenece un individuo  $i$  ( $h = 1, \dots, L$ ) y  $s_{(1)h}$  la muestra correspondiente al estrato  $h$  en  $t = 1$ .
- $s_{(1)rh} = \{i \in s_{(1)} / \text{responde en el estrato } h\}$
- $s_{(1)fh} = \{i \in s_{(1)} / \text{faltante en el estrato } h\}$

# Contexto

- $m_{(1)h}$  el tamaño de  $s_{(1)rh}$ .  $\sum_h m_{(1)h}$  es el tamaño de  $s_{(1)r}$ .
- $s_{(t)rh}$  la muestra efectiva para  $t = 2, 3, \dots, k$  en el estrato  $h$  de  $s_{(1)r}$ , de tamaño  $m_{(t)h}$ .
- $s_{(t)new}$  una nueva muestra extraída mediante un muestreo aleatorio estratificado independiente.  $n_{(t)hnew}$  su tamaño en el estrato  $h$ .  
 $s_{(t)rhnew}$  su muestra efectiva, de tamaño  $m_{(t)hnew}$ .

# Estimación del total en la 1ª medición

Dados  $y_{ih}^{(t)}$  el valor de la variable de interés para el individuo  $i$  y  $d_{ih}$  su peso de diseño, el estimador Horvitz-Thompson viene dado como:

$$\hat{Y}_{HT}^{(1)} = \sum_{i \in S_{(1)r}} d_{ih} y_{ih}^{(1)}$$

# Estimación del total en la 1ª medición

Considerando la tasa de respuesta en cada estrato  $h$ ,  $r_h = \frac{m_{(1)h}}{n_{(1)h}}$ , los pesos iniciales son reemplazados por  $d_{ih}^{(1)} = \frac{d_{ih}}{r_h}$ . Por tanto, el estimador viene dado como:

$$\hat{Y}^{(1)} = \sum_h \sum_{i \in S_{(1)rh}} \frac{N_h}{n_{(1)h}} \frac{n_{(1)h}}{m_{(1)h}} y_{ih}^{(1)} = \sum_h \sum_{i \in S_{(1)rh}} d_{ih}^{(1)} y_{ih}^{(1)}$$

# Estimación del total en la medición $t$

En el caso de las siguientes mediciones, los pesos de la muestra  $s_{(t)new}$  pueden ser ajustados siguiendo la idea anterior:

$$\hat{Y}_n^{(t)} = \sum_h \sum_{s_{(t)rhnew}} \frac{N_h}{n_{(t)hnew}} \frac{n_{(t)hnew}}{m_{(t)hnew}} y_{ih}^{(t)} = \sum_h \sum_{s_{(t)rhnew}} d_{ihn}^{(t)} y_{ih}^{(t)}$$

# Estimación del total en la medición $t$

- De igual manera se ajustan los pesos de  $s_{(t)r}$ :

$$\hat{Y}^{(t)} = \sum_h \sum_{i \in S_{(t)rh}} \frac{N_h}{n_{(t)h}} \frac{n_{(t)h}}{m_{(t)h}} y_{ih}^{(t)} = \sum_h \sum_{i \in S_{(t)rh}} d_{ih}^{(t)} y_{ih}^{(t)}$$

- Ambos estimadores se combinan como:

$$\hat{Y}_\alpha^{(t)} = \alpha_1 \hat{Y}^{(t)} + \alpha_2 \hat{Y}_n^{(t)}$$

# Estimación del total en la medición $t$

- Los valores óptimos para los coeficientes  $\alpha_1$  y  $\alpha_2$  serían:

$$\alpha_1 = 1 - \alpha_2 = \frac{V\left(\hat{Y}_n^{(t)}\right)}{V\left(\hat{Y}^{(t)}\right) + V\left(\hat{Y}_n^{(t)}\right)}$$

- Como desconocemos los valores de  $V\left(\hat{Y}^{(t)}\right)$  y  $V\left(\hat{Y}_n^{(t)}\right)$ , una solución sencilla consiste en considerar los tamaños de cada muestra:

$$\alpha_1 = 1 - \alpha_2 = \frac{m_{(t)h}}{m_{(t)h} + m_{(t)hnew}}$$

# Estimación del total en la medición $t$

El estimador resultante es:

$$\begin{aligned}\hat{Y}_{c1}^{(t)} &= \sum_h \frac{N_h}{m_{(t)h} + m_{(t)hnew}} \left( \sum_{i \in S_{(t)rh}} y_{ih}^{(t)} + \sum_{i \in S_{(t)rhnew}} y_{ih}^{(t)} \right) \\ &= \sum_h \sum_{s_{(t)rh} \cup S_{(t)rhnew}} d_{ihc}^{(t)} y_{ih}^{(t)}\end{aligned}$$

# Estimación del total en la medición $t$

- También se puede aplicar una reponderación por calibración para tener en cuenta información auxiliar. Incluir este tipo de información aumenta la consistencia y puede mejorar la precisión (Deville y Särndal, 1992).
- Sea  $x^{*(t)}$  un conjunto de variables auxiliares relacionadas con  $y$  tales que sus totales poblacionales para cada estrato son conocidos,  $X_h^{*(t)} = \sum u_h x_{ih}^{*(t)}$ .

# Estimación del total en la medición $t$

Nuevos pesos  $w_{ih}^t$  minimizan la distancia  $G$  a los pesos  $d_{ihc}^{(t)}$ :

$$\min \sum_{S(t)rh \in S(t)rhnew} G(w_{ih}^{(t)}, d_{ihc}^{(t)})$$

cumpliendo la condición de calibración

$$\sum_{S(t)rh \in U_{S(t)rhnew}} w_{ih}^{(t)} x_{ih}^{*(t)} = \sum_{U_h} x_{ih}^{*(t)}$$

# Estimación del total en la medición $t$

Por tanto, el estimador calibrado se obtiene como:

$$\hat{Y}_{CAL}^{(t)} = \sum_h \sum_{S(t)rh \cup S(t)rhnew} w_{ih}^{(t)} y_{ih}^{(t)}$$

# Estimación del cambio absoluto

- Un parámetro de interés es el cambio absoluto de una medición a otra:

$$\theta_t = Y^{(t)} - Y^{(1)}$$

- Para estimarlo usamos muestras con solapamiento pero hay que considerar la no respuesta debido al desgaste de los encuestados.
- Para ello, usamos el popular método Propensity Score Adjustment (PSA) (Lee, 2006; Lee y Valliant, 2009).
- Consiste en modelizar la probabilidad  $\pi_{(t)k}$  que un individuo de la muestra  $s_{(1)r}$  tiene de volver a responder en la ocasión  $t$ .

# Estimación del cambio absoluto

- Para cada individuo de  $s_{(1)r}$  definimos  $\delta_{(t)k} = 1$  si  $k \in s_{(t)r}$  y  $\delta_{(t)k} = 0$  si  $k \in s_{(1)r} - s_{(t)r}$ .

- Asumimos que el mecanismo de selección de respuesta es ignorable:

$$\pi_{(t)k} = P(\delta_{(t)k} = 1 | y_k, x_k) = P(\delta_k = 1 | x_k); k \in s_{(1)r}$$

- También asumimos que el mecanismo sigue un modelo paramétrico:

$$P(\delta_{(t)k} = 1 | y_k, x_k) = f_t(x_k)$$

# Estimación del cambio absoluto

- $\pi_{(t)k}$  puede ser estimado mediante un método del estado del arte del Machine Learning como es XGBoost (Chen y Guestrin, 2016).
- XGBoost construye árboles de decisión ensamblados que optimizan una función objetivo usando Gradient Tree Boosting (Friedman, 2001).
- El modelo se entrena usando  $s_{(1)r}$  e incluyendo todas las variables.
- Se minimiza la pérdida logística para  $\delta_{(t)k}; k \in s_{(1)r}$ :

$$l(\hat{\pi}_{(t)}) = \sum_{k \in s_{(1)r}} -\delta_{(t)k} \log(\hat{\pi}_{(t)k}) - (1 - \delta_{(t)k}) \log(1 - \hat{\pi}_{(t)k})$$

# Estimación del cambio absoluto

Definimos el siguiente estimador de  $\theta$  para la medición  $t$ :

$$\hat{\theta}_t = \sum_h \sum_{i \in S(t)rh} d_{ih}^{(1)} \frac{1}{\hat{\pi}_{(t)ih}} \left( y_{ih}^{(t)} - y_{ih}^{(1)} \right) = \sum_h \sum_{i \in S(t)rh} d_{ihPSA}^{(t)} \left( y_{ih}^{(t)} - y_{ih}^{(1)} \right)$$

# Estimación del cambio absoluto

Estos pesos  $d_{ihPSA}^{(t)}$  también pueden ser calibrados con totales poblacionales conocidos. Por tanto, en una siguiente fase, se aplica calibración para reponderarlos, obteniendo unos pesos  $v_{ih}^{(t)}$ . El estimador final viene dado por:

$$\hat{\theta}_{ct} = \sum_h \sum_{i \in S_{(t)rh}} v_{ih}^{(t)} \left( y_{ih}^{(t)} - y_{ih}^{(1)} \right)$$

# Estimación del cambio relativo

- Otro parámetro de interés en las encuestas panel es el cambio relativo:

$$\theta_{rt} = \frac{Y^{(t)} - Y^{(1)}}{Y^{(1)}}$$

- El ratio de las estimaciones puede usarse como estimador:

$$\hat{\theta}_{rt} = \frac{\hat{\theta}_{ct}}{\hat{Y}_{CAL}^{(1)}}$$

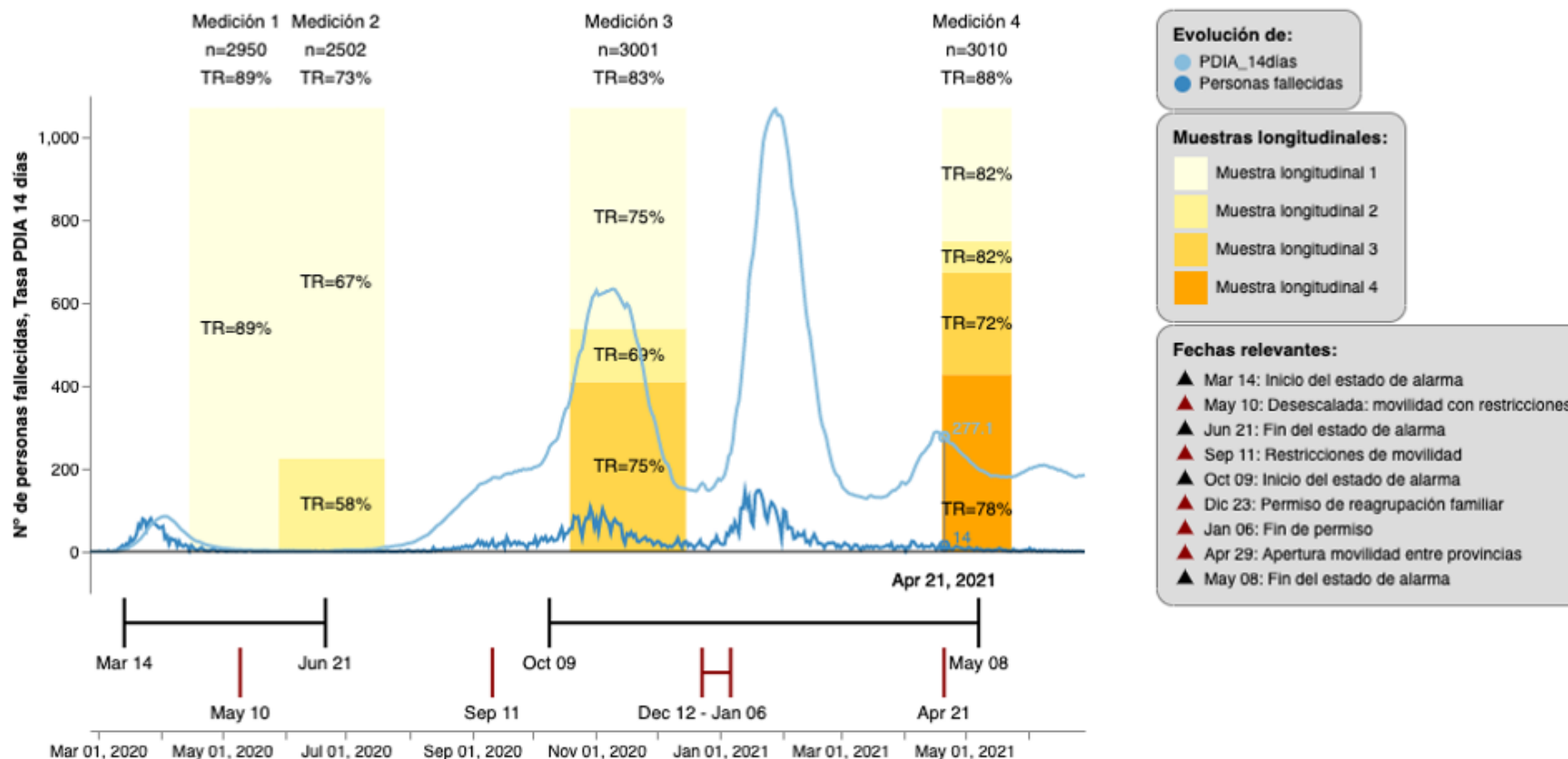
# ESSOC

- Los métodos propuestos se aplican a la Encuesta Sanitaria y SOcial.
- Incluye 4 mediciones sobre la población andaluza mayor de 16 años.
- $s_{(1)}$ , coincide con el comienzo del confinamiento en abril de 2020.  $s_{(2)}$ ,  $s_{(3)}$  y  $s_{(4)}$  corresponden a 1, 6 y 12 meses después, respectivamente.
- La estratificación se hizo en función de la provincia y el nivel de urbanización a partir de la Base de Datos Longitudinal de Población de Andalucía (IECA, 2020).
- Los pesos son calibrados con los totales por provincia, sexo, edad, nacionalidad y tamaño total de la población.

# Tamaños muestrales y no-respuesta

## Encuesta Sanitaria y Social: trabajo de campo y evolución de la pandemia por SARS-COV-2 en Andalucía

n: Muestra efectiva, TR: Tasa de respuesta, PDIA: Pruebas Diagnósticas de Infección Activa  
Fuente: IECA (Instituto de Estadística y Cartografía de Andalucía)



# Optimización de hiperparámetros

- Número de estimadores  $\in [10, 400]$ : El número de árboles que forman el ensamblado.
- Tasa de aprendizaje  $\in [0.01, 1]$ : La reducción aplicada da los pesos tras cada iteración de boosting.
- Profundidad máxima  $\in [1, 60]$ : El número máximo de particiones en cada árbol.
- Peso mínimo  $\in [1, 6]$ : El mínimo del total de pesos que debe contener una rama para considerar una nueva partición.

# Optimización de hiperparámetros

- La precisión del algoritmo se comprueba mediante validación cruzada.
- Los valores de los hiperparámetros que minimizan el error se obtienen mediante el algoritmo Tree-structured Parzen Estimator (TPE) (Bergstra et al., 2011).
- Este proceso evita que se produzca un sobreajuste (propensidad estimada extremadamente cercana a 0 o a 1).

# Resultados

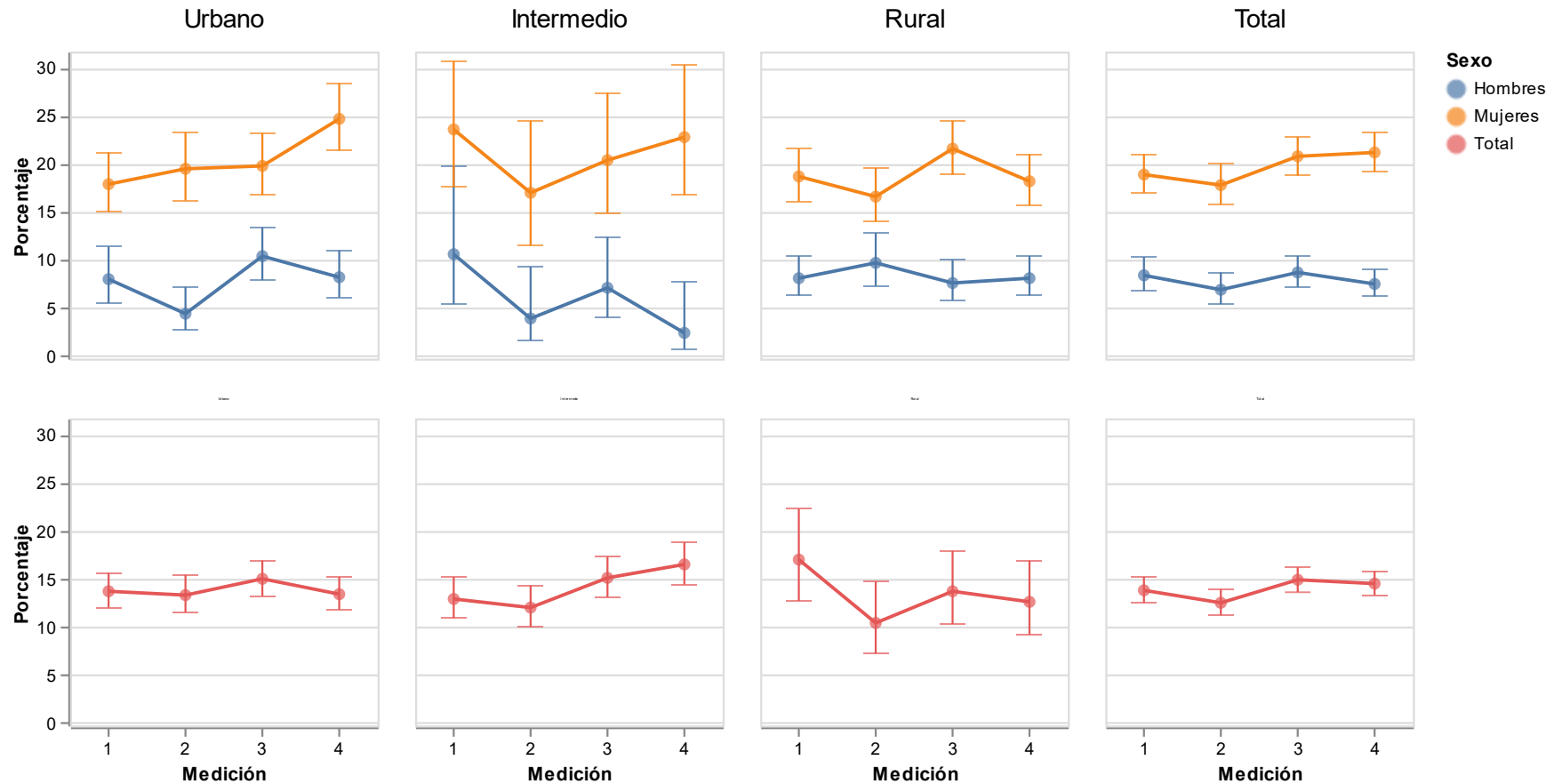
## Encuesta Sanitaria y Social: visualización resultados descriptivos i

Descargar todas las gráficas y tablas en .PDF 

<b>Seleccione la/s variable/s resultado <span>i</span></b>	<b>Seleccione el/los resultado/s descriptivo/s <span>i</span></b>	<b>Seleccione la/s variable/s de estratificación <span>i</span></b>
Características del hogar y la vivienda 	Todas	Todas
Uso del tiempo y convivencia 	Transversal variables originales	Grupo de edad
Salud y Bienestar emocional 	Transversal variables dicotomizadas	Provincia
Hábitos y estilo de vida 	Transversal cambio autopercepción	Grado de urbanización
Situación económica y características sociodemográficas 	Transversal cambio brecha género	
	Longitudinal diferencia	
	Longitudinal diferencia brecha género	
		<b>Visualizar</b>

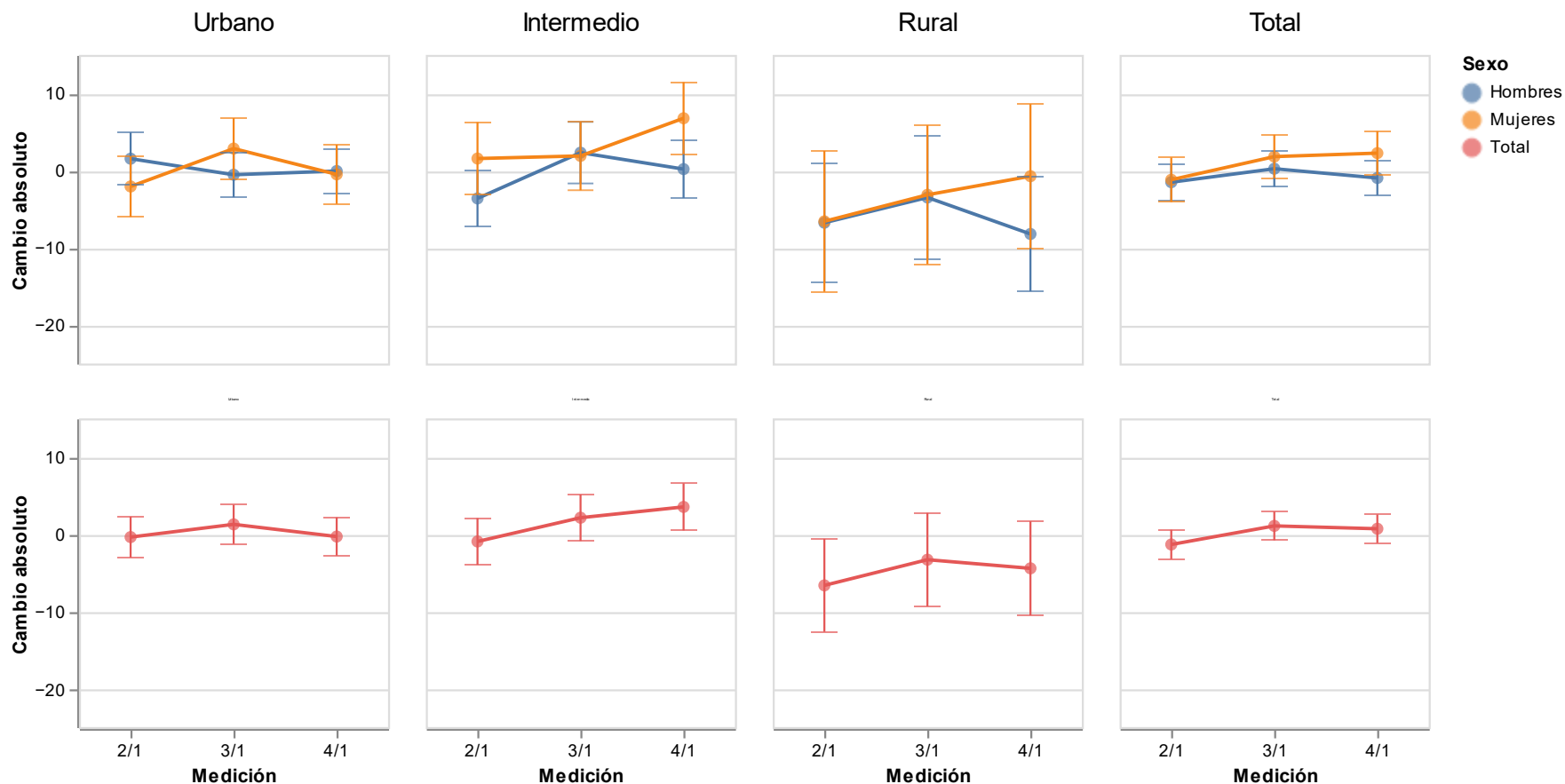
# Resultados

Dolor de cabeza con bastante o mucha frecuencia según el grado de urbanización



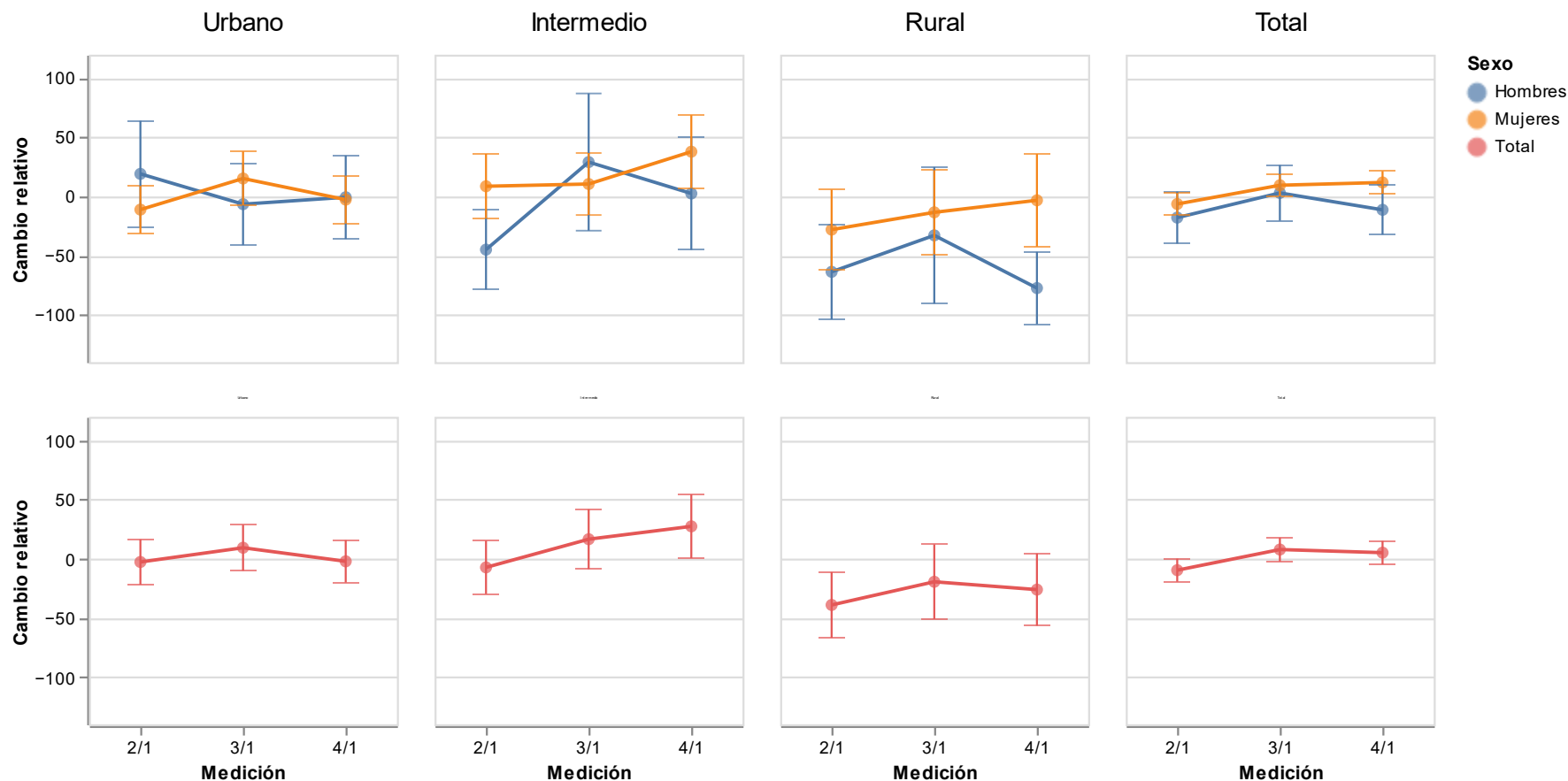
# Resultados

Cambio absoluto en dolores de cabeza con bastante o mucha frecuencia según el grado de urbanización



# Resultados

Cambio relativo en dolores de cabeza con bastante o mucha frecuencia según el grado de urbanización



# Conclusiones

- Las encuestas panel con superposición son muy útiles cuando es de interés analizar la evolución de ciertas variables a lo largo del tiempo.
- Sin embargo, también implican problemas de no-respuesta que requieren estimadores específicos.
- Dichos estimadores pueden ser aplicados usando algoritmos del estado del arte del machine learning para obtener estimaciones óptimas.
- Estas técnicas nos han permitido obtener resultados más fiables en variables clave a la hora de tomar decisiones sobre la pandemia.

# Referencias

- Arcos, A., Rueda, M. M., & Pasadas-del-Amo, S. (2020). Treating Nonresponse in Probability-Based Online Panels through Calibration: Empirical Evidence from a Survey of Political Decision-Making Procedures. *Mathematics*, 8(3), 423.
- Bergstra, J., Bardenet, R., Bengio, Y., & Kégl, B. (2011, December). Algorithms for hyper-parameter optimization. In 25th annual conference on neural information processing systems (NIPS 2011) (Vol. 24). Neural Information Processing Systems Foundation.
- Chen, T., & Guestrin, C. (2016, August). Xgboost: A scalable tree boosting system. In Proceedings of the 22nd acm sigkdd international conference on knowledge discovery and data mining (pp. 785-794).
- Deville, J. C., & Särndal, C. E. (1992). Calibration estimators in survey sampling. *Journal of the American statistical Association*, 87(418), 376-382.

# Referencias

- Friedman, J. H. (2001). Greedy function approximation: a gradient boosting machine. *Annals of statistics*, 1189-1232.
- IECA (2020). Base de Datos Longitudinal de Población de Andalucía.
- Lee, S. (2006). Propensity score adjustment as a weighting scheme for volunteer panel web surveys. *Journal of official statistics*, 22(2), 329.
- Lee, S., & Valliant, R. (2009). Estimation for volunteer panel web surveys using propensity score adjustment and calibration adjustment. *Sociological Methods & Research*, 37(3), 319-343.
- Sánchez-Cantalejo C, Rueda MdM, Saez M, Enrique I, Ferri R, Fuente MdL, Villegas R, Castro L, Barceló MA, Daponte-Codina A, Lorusso N, Cabrera-León A. Impact of COVID-19 on the Health of the General and More Vulnerable Population and Its Determinants: Health Care and Social Survey-ESSOC, Study Protocol. *International Journal of Environmental Research and Public Health*. 2021; 18(15):8120. <https://doi.org/10.3390/ijerph18158120>



Islas Canarias  
Del 15 al 19 de noviembre de 2021

# ¡Gracias!



Escuela Andaluza  
de Salud Pública  
Consejería de Salud y Familias



UNIVERSIDAD  
DE GRANADA



<https://orcid.org/0000-0002-0934-4219>